

Modélisation et propriétés structurelles en dimension infinie: des systèmes à retards aux équations aux dérivées partielles

Hugues Mounier

Institut d'Électronique Fondamentale, Université Paris sud

École d'automne – Douz, 2006

Plan

Régulateurs de type PID

Application aux réseaux informatiques – Notion de platitude

Des SàR aux EDP : Équation des ondes et forage

Commandabilités et π -liberté

Régulateurs de type PID

Motivation et commandabilité en dimension finie

Motivations

- Obtenir des schémas de stabilisation simples et **proches des classiques utilisés en ingénierie**, pour des systèmes de transfert :

$$G(s)e^{-hs}$$

où $G(s)$ est éventuellement instable.

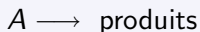
- Le schéma proposé :
 - Généralise les régulateurs PID et le prédicteur de Smith.
 - Permet une reconstruction exacte des dérivées des mesures.

Motivations (suite)

- Utilisation :
 - De prédicteurs utilisant les valeurs passées de l'entrée.
 - De reconstructeurs intégraux exacts utilisant les mesures et leurs intégrales itérées.
- Cette dernière reconstruction a un effet lissant par l'utilisation d'intégrales, mais
 - elle évite les erreurs d'approximation d'un filtrage de type boîte noire.
 - utilisée au sein d'un régulateur PID, elle est plus robuste qu'un observateur asymptotique.

Un réacteur simple

- Réacteur isotherme uniformément agité
- Réaction du 1^{er} ordre :



- Commandé par la concentration d'entrée en A : c_{AF}
- Flux d'entrée mélangé en amont du réacteur : retard sur l'entrée non négligeable.

Un réacteur simple (suite)

- Équilibre molaire

$$\dot{c}_A(t) = q [c_{AF}(t - \tau) - c_A(t)] - kc_A(t)$$

- Avec les constantes q le débit d'entrée et k le taux de réaction.
- Correspond au modèle de Broïda-Stretch :

$$\frac{e^{-hs}}{1 + Ts}$$

- Ce modèle est utilisé pour diverses modélisations.

Modèle employé

- On considère le modèle **perturbé**

$$sy = ay + be^{-hs}u + \varpi \frac{e^{-\varphi s}}{s}$$

- Avec a éventuellement positif.
- La perturbation constante ϖ apparaît à $t \geq \varphi$ par le biais d'un heaviside translaté.
- On considère également le modèle **nominal**

$$sy_{\text{nom}} = ay_{\text{nom}} + be^{-hs}u_{\text{nom}}$$

Forme adaptée au suivi

- On exprime directement u_{nom} en fonction de y_{nom} et $s y_{\text{nom}}$

$$u_{\text{nom}} = \frac{1}{b} s e^{hs} y_{\text{nom}} - \frac{a}{b} e^{hs} y_{\text{nom}}$$

- Cette forme est très utile pour le suivi d'une trajectoire désirée $y_{\text{nom}d}$ en boucle ouverte.
- Il n'y a pas d'intégration d'équation différentielle aux différences.
- La prédiction $e^{hs} y_{\text{nom}}$ n'est pas un inconvénient en suivi en boucle ouverte, connaissant le trajectoire désirée $y_{\text{nom}d}$ sur tout l'horizon temporel.

Rappel de commandabilité en dimension finie

Système classique, mono-entrée $s\mathbf{x} = A\mathbf{x} + bu$, $\mathbf{x} = (x_1, \dots, x_n)$.

- Critère de **Kalman**

$$\text{rg}_{\mathbb{R}}[b, Ab, \dots, A^{n-1}b] = n$$

- Critère de **Hautus-Popov-Belevitch**

$$\forall s \in \mathbb{C}, \quad \text{rg}_{\mathbb{C}}[sI - A \mid b] = n$$

Rappel de commandabilité en dimension finie (suite)

- Mise sous **forme compagnon**

$$sZ_1 = Z_2$$

$$sZ_2 = Z_3$$

$$\vdots$$

$$sZ_{n-1} = Z_n$$

$$sZ_n = p_1Z_1 + p_2Z_2 + \dots + p_nZ_n + qu$$

- Sous-espace de **non commandabilité de Kalman** vide.
- La forme compagnon permet un suivi de trajectoire des plus aisés ; posant $z_{1d} = y_d$:

$$u_d = -\frac{1}{\beta} \left(\alpha_1 y_d + \alpha_2 s y_d + \dots + \alpha_n s^{n-1} y_d(t) - s^n y_d(t) \right)$$

Rappel de commandabilité en dimension finie (suite)

- Par ailleurs, z_1 fournit une paramétrisation complète : toute variable s'exprime comme combinaison linéaire de z_1 et d'un nombre fini de ses dérivées.

$$z_2 = s z_1$$

$$z_3 = s^2 z_1$$

$$\vdots$$

$$z_n = s^{n-1} z_1$$

$$u = -\frac{1}{\beta} \left(\alpha_1 z_1 + \alpha_2 s z_1 + \dots + \alpha_n s^{n-1} z_1 - s^n z_1 \right)$$

$$y = z_1$$

- Cette agréable propriété se nomme la **liberté**.

Classe de systèmes étudiés et liberté

Classe de systèmes étudiés

- Système à retards Λ donné par

$$\Lambda = [w_1, \dots, w_\alpha] \triangleq [\mathbf{w}]$$
$$P_\Lambda(s, e^{hs}) \mathbf{w} = 0$$

avec $P_\Lambda \in \mathbb{R}[s, e^{hs}]^{\beta \times \alpha}$, $\text{rg}_{\mathbb{R}[s, e^{hs}]} P_\Lambda = \beta$, $\beta \leq \alpha$.

- Λ est **sans retard** si $P_\Lambda \in \mathbb{R}[\frac{d}{dt}]^{\beta \times \alpha}$, c.à.d. s'il existe des équations du modèle ne contenant pas de retard.
- Une dynamique Λ d'entrée \mathbf{u} est **quasi-finie** s'il existe des monômes $M_i(\delta)$, $i = 1, \dots, m$ tels que posant $v_i = M_i(\delta)u_i$, la dynamique $\tilde{\Lambda}$ d'entrée $\mathbf{v} = (v_1, \dots, v_m)$ est **sans retard**.

Liberté et liberté par anticipation

- Un modèle de dimension finie munie d'une entrée indépendante $\mathbf{u}(t) = (u_1(t), \dots, u_m(t))$ est dit **libre** s'il existe

$$\boldsymbol{\omega}(t) = (\omega_1(t), \dots, \omega_m(t))$$

que l'on nomme **base** (ou **sortie plate**), telle que :

- (1) Elle fait partie du modèle (caractère endogène) :
les ω_i s'expriment comme combinaison linéaire des variables du modèle (c.à.d. \mathbf{x}, \mathbf{u} ici) et de leurs dérivées :

$$\omega_i = L\mathbf{x} + N_0\mathbf{u} + N_1s\mathbf{u} + \dots + N_\alpha s^\alpha \mathbf{u}$$

$$L \in \mathbb{R}^{n \times n}, N_i \in \mathbb{R}^{n \times m}, i = 0, \dots, \alpha.$$

Liberté et liberté par anticipation (suite)

- (2) Ses composantes sont indépendantes (indépendance) :
Il n'existe aucune relation différentielle entre les ω_i :

$$M_0\omega + M_1s\omega + \dots + M_\beta s^\beta\omega = 0 \implies M_i = 0$$

$$M_i \in \mathbb{R}^{q \times m}, i = 0, \dots, \beta.$$

- (3) Elle fournit une paramétrisation complète du système (**forme canonique de suivi**) :

$$\mathbf{x} = P_0\omega + P_1s\omega + \dots + P_\gamma s^\gamma\omega \quad (1)$$

$$\mathbf{u} = Q_0\omega + Q_1s\omega + \dots + Q_\mu s^\mu\omega \quad (2)$$

$$P_i \in \mathbb{R}^{n \times m}, Q_j \in \mathbb{R}^{m \times m}, i = 0, \dots, \gamma, j = 0, \dots, \mu,$$

- La dernière propriété, et plus spécialement l'équation (2) fournit une solution simple et naturelle au suivi de la sortie $\mathbf{y} = \omega$.

Liberté et liberté par anticipation (suite)

- Une dynamique à retards presque finie est dit **libre par anticipation** (ou δ -libre ou e^{-hs} -libre) si elle est libre pour peu que l'on s'autorise des avances.
- Ceci conduit à une forme canonique de suivi telle que :

$$\mathbf{x} = P_0\omega + P_1s\omega + \dots + P_\gamma s^\gamma\omega \quad (3)$$

$$\mathbf{u} = Q_0e^{hs}\omega + Q_1se^{hs}\omega + \dots + Q_\mu s^\mu e^{hs}\omega \quad (4)$$

Suivi en boucle ouverte

- Considérons la trajectoire de concentration $c_{Ad}(t)$.
- La loi de commande en boucle ouverte $c_{AFd}(t)$ assurant le suivi est

$$c_{AFd}(t) = \frac{1}{q} \dot{c}_{Ad}(t + \tau) + \left[1 + \frac{k}{q} \right] c_{Ad}(t + \tau).$$

Systèmes quasi-finis commandables

- Représentation d'état typique, cas d'un seul retard

$$(*) \quad \dot{\mathbf{x}} = A\mathbf{x} + B\delta\mathbf{u}$$

où $A \in \mathbb{R}^{n \times n}$, $B \in \mathbb{R}^{n \times m}$.

- Les trois conditions suivantes sont équivalentes
 - 1/ (*) est commandable **sans torsion**, c.à.d. qu'il n'y a pas de trajectoires fixées dans le système
 - 2/ (*) est **spectralement commandable**, ou encore
 $\forall s \in \mathbb{C}, \quad \text{rk}_{\mathbb{C}}[sI - A \mid e^{-hs}B] = n$
 - 3/ (*) est en **liberté anticipée**,
 - 4/ $\text{rg}(B, AB, \dots, A^{n-1}B) = n$.

On dira dans ce cas qu'elle est **commandable**.

Systèmes quasi-finis observables

- Représentation d'état typique, cas d'un seul retard

$$(*) \quad \begin{aligned} s\mathbf{x} &= A\mathbf{x} + B\delta\mathbf{u} \\ \mathbf{y} &= C\mathbf{x} \end{aligned}$$

où $A \in \mathbb{R}^{n \times n}$, $B \in \mathbb{R}^{n \times m}$, $C \in \mathbb{R}^{p \times n}$.

- Les trois conditions suivantes sont équivalentes

1/ La dynamique de dimension finie d'entrée $\mathbf{u}(t) = \mathbf{u}(t - h)$ et de sortie $\mathbf{y}(t)$ est observable,

2/ (*) est **spectralement observable**, ou bien

$$\forall s \in \mathbb{C}, \quad \text{rk}_{\mathbb{C}} \begin{bmatrix} C \\ sI - A \end{bmatrix} = n$$

3/ $\text{rk} [C \quad AC \quad \dots \quad A^{n-1}C]^T = n$.

On dira dans ce cas qu'elle est **observable**.

Hypothèses de travail

- Les systèmes presque finis que nous allons étudier seront supposés
 - sans trajectoire fixée (toute trajectoire est susceptible d'être perturbée),
 - entièrement **au repos pour $t \leq 0$** .
- En outre, le système nominal correspondant sera
 - **commandable** et
 - **observable**,au sens défini par les deux résultats précédents.

Méthodologie pour suivi de trajectoires

Un mot de méthodologie

- Formulation d'atteinte d'objectif en suivi de trajectoires
- Suivi réalisé en 2 étapes découplées :
 - Suivi en boucle ouverte, utilisant la liberté (ou la platitude).
 - Stabilisation **autour** de la trajectoire.

Un mot de méthodologie (suite)

- Se retrouve en génie logiciel (forte cohésion, faible couplage).
- Hiérarchisation à deux résolutions
 - La première étape permet un “dégrossissage” du problème, en se laissant guider par le modèle (au travers de la liberté).
 - La deuxième affine le suivi et corrige les imperfections de modèle et méconnaissances de conditions initiales par bouclage.

Suivre ou ne pas suivre ?

- Cette deuxième étape de stabilisation est ici réalisée par un PID généralisé.
- Quel est l'avantage de cette démarche à 2 étapes par rapport à une approche de type "stabilisation pure" ?

Suivre ou ne pas suivre? (suite)

- Supposons avoir un changement de point de consigne, $y(t)$ passant de y_0 à y_1 , dont l'amplitude $|y_1 - y_0|$ est importante par rapport aux grandeurs caractéristiques du modèle.
- Réalisant ce changement directement en cherchant à faire tendre vers zéro $|y(t) - y_1|$ (par exemple avec un PID classique), on obtient des dépassements ("overshoots") et des oscillations indésirables.
- En effectuant d'abord un suivi en utilisant la liberté, on se laisse guider par le modèle plutôt que d'essayer de le forcer.

Modèle du second ordre

Équation de Newton :

$$M\ddot{z} + \gamma\dot{z} + kz = F$$

avec

- F force appliquée
- $\gamma\dot{z}$ terme d'amortissement
- kz terme de raideur

Second ordre : trajectoire de référence

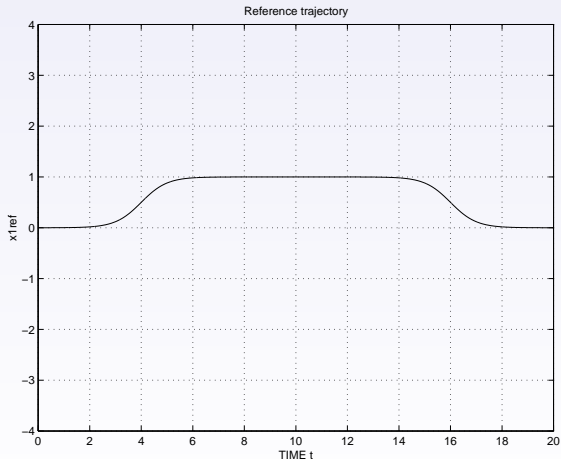


FIG. 1: Trajectoire désirée en hauteur

Second ordre : trajectoire de référence

- Méthode du **couple calculé** (*Computed Torque*)

$$F_{\text{ref}}(t) = M\ddot{z}_{\text{ref}}(t) + \gamma\dot{z}_{\text{ref}}(t) + kz_{\text{ref}}(t)$$

Second ordre : commande de référence

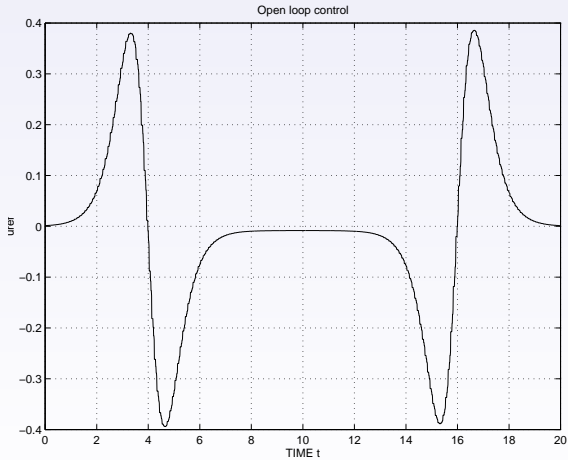


FIG. 2: Loi de commande en boucle ouverte réalisant le suivi

Suivre ou ne pas suivre ? (suite)

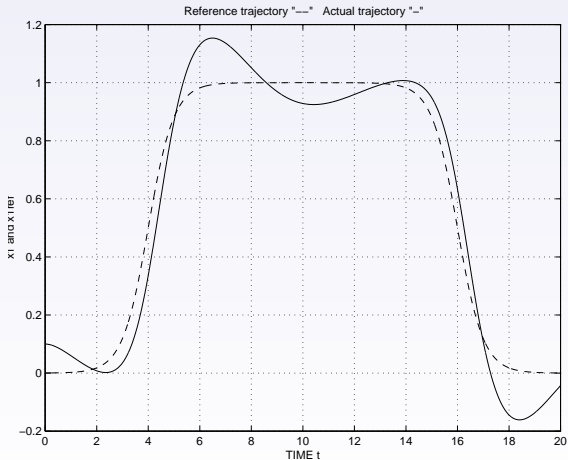


FIG. 3: Trajectoire de référence et réelle (PID pur)

Suivre ou ne pas suivre ? (suite)

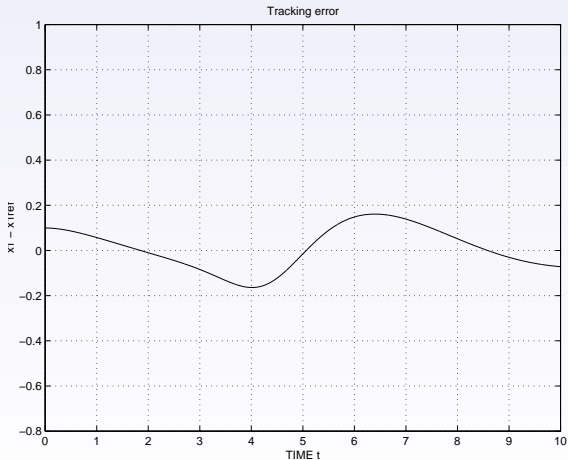


FIG. 4: Erreur de suivi (PID pur)

Suivre ou ne pas suivre? (suite)

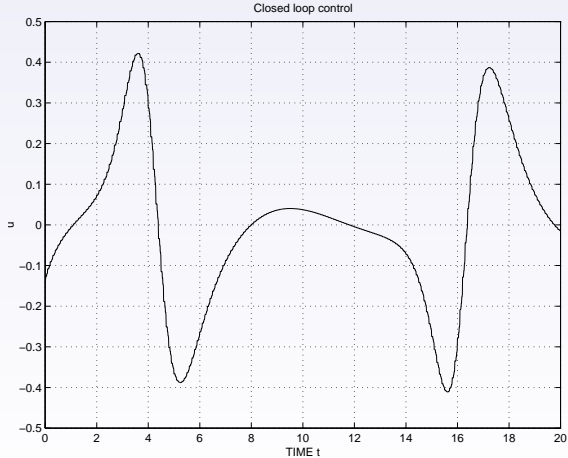


FIG. 5: Loi de commande appliquée (PID pur)

Suivre ou ne pas suivre ? (suite)

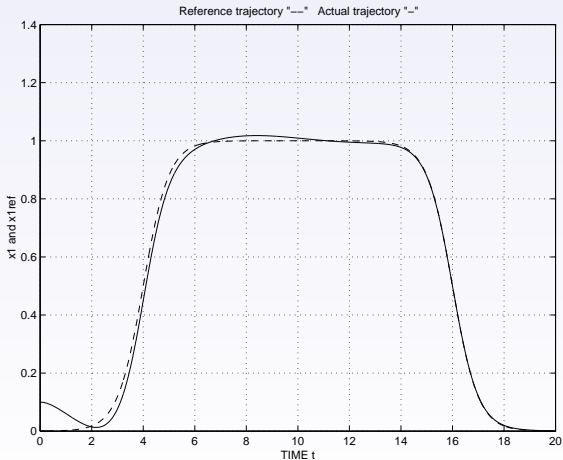


FIG. 6: Trajectoire de référence et réelle (suivi stabilisé par PID)

Suivre ou ne pas suivre ? (suite)

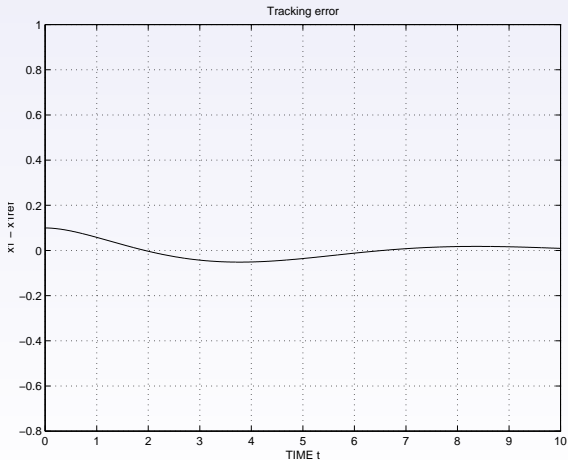


FIG. 7: Erreur de suivi (suivi stabilisé par PID)

Suivre ou ne pas suivre ? (suite)

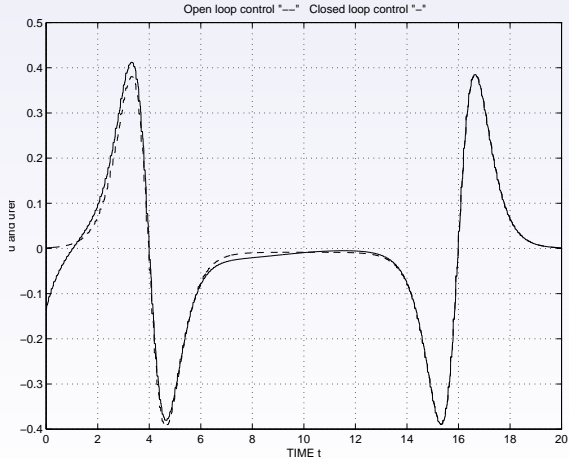


FIG. 8: Commandes en boucle ouverte et appliquée (suivi stabilisé par PID)

Liens multirésolution/génie logiciel

- Se retrouve en génie logiciel (**forte cohésion, faible couplage**).
- Hiérarchisation à deux résolutions
 - La première étape permet un “dégrossissage” du problème, en **se laissant guider par le modèle** (au travers de la liberté).
 - La deuxième affine le suivi et **corrige les imperfections** de modèle et méconnaissances de conditions initiales par bouclage.

Avantages de ce schéma

- Performances

La loi de commande en boucle ouverte est obtenue **sans intégrer d'équation différentielle**. Elle peut donc être calculée hors-ligne et tabulée

- Choix de la trajectoire

Donne une grande **souplesse** par rapport à un simple changement de point de consigne

Avantages de ce schéma (suite)

- **Respect des contraintes**

Pour des spécifications données (bornes d'erreur, ...), permet de moins relever les gains et donc de **dépenser moins d'énergie** par le biais de la commande

- **Contrôle des transitoires**

Spécialement pour des systèmes non linéaires, se laisser guider par un modèle permet de **maîtriser les évolutions transitoires** en changement de régime

Suivi de trajectoires et PI généralisé sur divers exemples

Système instable du premier ordre

On considère

$$sy = ay + be^{-hs}u + \varpi \frac{e^{-\varphi s}}{s} \quad (5)$$

avec y la sortie mesurée
 u la commande
 ϖ une perturbation constante à $t = \varphi$
 $a > 0$ donnant un système instable

Suivi en boucle ouverte du réacteur simple

- Pour y_r le signal de référence, la loi en boucle ouverte assurant le suivi est

$$u_r = \frac{1}{b} (se^{hs} y_r - ae^{hs} y_r) \quad (6)$$

On définit les erreurs :

$$y_e = y - y_r, \quad u_e = u - u_r$$

Et l'on obtient la dynamique d'erreurs :

$$sy_e = ay_e + be^{-hs} u_e + \varpi \frac{e^{-\varphi s}}{s} \quad (7)$$

Régulation par PI

- Posant

$$v_e = e^{-hs} u_e$$

la dynamique

$$s y_e = a y_e + b v_e + \varpi \frac{e^{-\varphi s}}{s}$$

peut être régulée, avec rejet de la perturbation, par

- le contrôleur PI

$$v_e = k_p y_e + k_i s^{-1} y_e \quad (8)$$

Prédiction

- Ce contrôleur peut être réécrit

$$\begin{aligned}u_e &= k_p e^{hs} y_e + k_i e^{hs} s^{-1} y_e \\ &= k_p e^{hs} y_e + k_i s^{-1} y_e - k_i \frac{1 - e^{-hs}}{s} e^{hs} y_e\end{aligned}$$

- Définissons la dynamique non perturbée

$$s\tilde{y}_e = a\tilde{y}_e + be^{-hs}\tilde{u} \quad (9)$$

avec

$$y_e = \tilde{y}_e - \frac{\varpi e^{-\varphi s}}{a s}$$

Prédiction (suite)

- Le bouclage prédictif utilisé est :

$$\tilde{u}_e = k_p e^{hs} \tilde{y}_e + k_i s^{-1} y_e - k_i \frac{1 - e^{-hs}}{s} e^{hs} \tilde{y}_e \quad (10)$$

où le 1^{er} terme $e^{hs} \tilde{y}_e$ et le 3^{ième} terme nécessitent une forme de prédiction.

- On utilise

$$\tilde{y}_e = b \frac{e^{-hs}}{s - a} \tilde{u}_e$$

Prédiction (suite)

- D'où la prédiction

$$\begin{aligned} e^{hs} \tilde{y}_e &= \frac{b}{s-a} (e^{-h(s-a)} + 1 - e^{-h(s-a)}) \tilde{u}_e \\ &= e^{ha} \frac{b}{s-a} e^{-hs} \tilde{u}_e + b \frac{1 - e^{-h(s-a)}}{s-a} \tilde{u}_e \end{aligned}$$

- C'est-à-dire :

$$e^{hs} \tilde{y}_e = e^{ha} \tilde{y}_e + b \frac{1 - e^{-h(s-a)}}{s-a} \tilde{u}_e$$

Régulateur prédictif

- Le régulateur utilisé s'écrit

$$\bar{u}_e = k_p y_e^{\text{pred}} + k_i \left(s^{-1} y_e + \frac{1 - e^{-hs}}{s} y_e^{\text{pred}} \right) \quad (11a)$$

avec :

$$y_e^{\text{pred}} = e^{ah} y_e + b \frac{1 - e^{-h(s-a)}}{s - a} \tilde{u}_e \quad (11b)$$

Régulateur prédictif (suite)

- Ou, dans le domaine temporel :

$$\bar{u}_e(t) = k_p y_e^{\text{pred}}(t) + k_i \left(\int_0^t y_e(\tau) d\tau + \int_{t-h}^t y_e^{\text{pred}}(\tau) d\tau \right) \quad (12a)$$

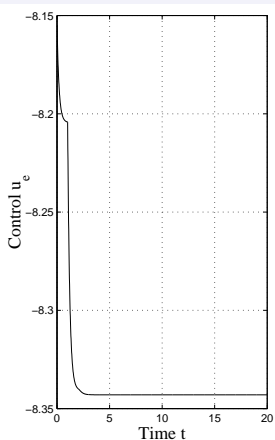
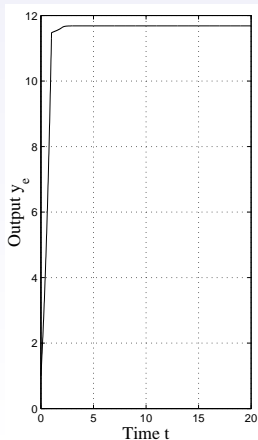
avec :

$$y_e^{\text{pred}}(t) = e^{ah} y_e(t) + \int_{t-h}^t e^{a(t-\tau)} b \bar{u}_e(\tau) d\tau \quad (12b)$$

Simulations

Modèle : $\dot{y}(t) = 1 * y(t) + 2 * u(t - 1) + 5$

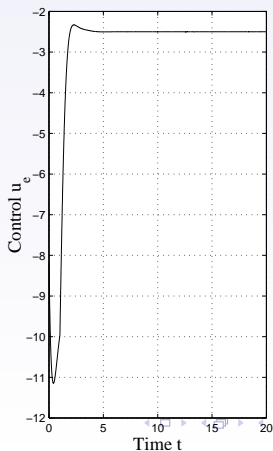
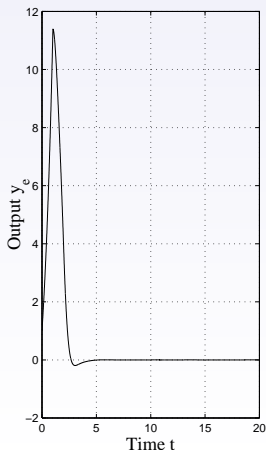
Régulateur **P** : $u(t) = -3 * y(t + 1)$



Simulations (suite)

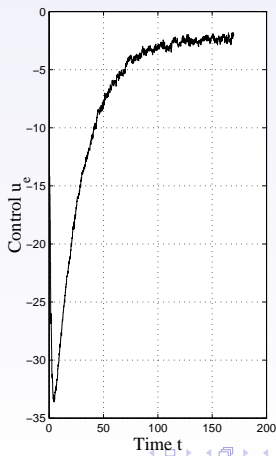
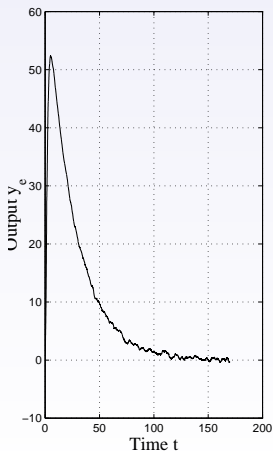
Modèle : $\dot{y}(t) = 1 * y(t) + 2 * u(t - 1) + 5$

Régulateur PI : $u(t) = -3 * y(t + 1) - 5 * \int_0^{t+1} y(s) ds$



Simulations : système perturbé

$$\dot{y}(t) = (a + \Delta a)y(t) + (b + \Delta b)u(t - h - \Delta h) + \varpi$$



Modèle du second ordre

- Considérons le modèle du second ordre

$$s^2y + a_1sy + a_0y = e^{-hs}u + \varpi \frac{e^{-\varphi s}}{s}$$

La sortie y est une base.

- Soit y_r un signal de référence et

$$y_e = y - y_r, \quad u_e = u - u_r$$

les erreurs.

Modèle du second ordre (suite)

- On obtient l'équation d'erreur

$$s^2 y_e + a_1 s y_e + a_0 y_e = e^{-hs} u_e + \varpi \frac{e^{-\varphi s}}{s} \quad (13)$$

Prenant un PID classique, on a

$$e^{-hs} u_e = -k_d s y_e - k_p y_e - \frac{k_i}{s} y_e \quad (14)$$

- Afin d'avoir une expression pour $s y_e$, on utilise un reconstructeur intégral, fournissant un filtrage fondé sur le modèle. Avec $\varpi = 0$, on a

$$s y_e = -a_1 y_e - \frac{a_0}{s} y_e + \frac{1}{s} u_e \quad (15)$$

Modèle du second ordre (suite)

- Par substitution dans (14)

$$\begin{aligned} e^{-hs} u_e &= -k_d \left(-a_1 y_e - \frac{a_0}{s} y_e + \frac{1}{s} e^{-hs} u_e \right) - k_p y_e - \frac{k_i}{s} y_e \\ &= (a_1 k_d - k_p) y_e + \frac{a_0 k_d - k_i}{s} y_e - \frac{k_d}{s} u_e \end{aligned}$$

- Ce qui conduit à

$$e^{-hs} u_e = -k_d s y_e - k_p y_e - \frac{k_i}{s} y_e - k_d \varpi \frac{e^{-\varphi s}}{s^2}$$

ayant supposé $\varpi = 0$ dans (15).

Modèle du second ordre (suite)

- Pour avoir une erreur statique nulle, il faut un double intégrateur sur y_e

$$u_e = -k_d s e^{hs} y_e - k_p e^{hs} y_e - \frac{k_i}{s} e^{hs} y_e - \frac{k_{ii}}{s^2} e^{hs} y_e$$

- Ce qui conduit au système en boucle fermée suivant

$$\left(s^2 + (a_1 + k_d)s + (a_0 + k_p) + \frac{k_i}{s} + \frac{k_{ii}}{s^2} \right) y_e = \left(1 + \frac{k_d}{s} \right) \varpi \frac{e^{-\varphi}}{s}$$

Reconstructeurs intégraux

Reconstructeurs bruts

- Considérons la représentation d'état

$$\dot{\mathbf{x}} = A\mathbf{x} + B\mathbf{u}$$

$$\mathbf{y} = C\mathbf{x}$$

- Par dérivations successives de la sortie \mathbf{y} , on obtient

$$\mathbf{y} = C\mathbf{x}$$

$$\dot{\mathbf{y}} = CA\mathbf{x} + CB\mathbf{u}$$

$$\ddot{\mathbf{y}} = CA^2\mathbf{x} + CAB\mathbf{u} + CB\dot{\mathbf{u}}$$

$$\vdots$$

$$\mathbf{y}^{(n-1)} = CA^{n-1}\mathbf{x} + \sum_{i=0}^{n-2} CA^{n-2-i}B\mathbf{u}^{(i)}$$

Reconstructeurs bruts (suite)

- qui se réécrit

$$\mathbf{Y} = \mathcal{O}\mathbf{x} + \mathcal{T}\mathbf{U}$$

avec \mathcal{O} la matrice d'observabilité,

$$\mathbf{Y} = \begin{pmatrix} \mathbf{y} \\ \dot{\mathbf{y}} \\ \vdots \\ \mathbf{y}^{(n-1)} \end{pmatrix}, \quad \mathbf{U} = \begin{pmatrix} \mathbf{u} \\ \dot{\mathbf{u}} \\ \vdots \\ \mathbf{u}^{(n-2)} \end{pmatrix}$$

Reconstructeurs bruts (suite)

- et \mathcal{T} la matrice

$$\mathcal{T} = \begin{pmatrix} 0 & & & \\ h_1 & 0 & \mathbf{0} & \\ \vdots & \ddots & \ddots & \\ h_{n-1} & \cdots & h_1 & 0 \end{pmatrix}$$

avec $h_i = CA^{i-1}B$ les paramètres de Markov parameters et $\mathbf{0}$ la matrice bloc nulle.

Reconstructeurs bruts (suite)

- Multipliant par \mathcal{O}^T ,

$$\mathcal{O}^T \mathbf{Y} = \mathcal{O}^T \mathcal{O} \mathbf{x} + \mathcal{O}^T \mathcal{T} \mathbf{U}$$

- Si le système est **observable** \mathcal{O} est de rang plein,
- Donc $\mathcal{O}^T \mathcal{O}$ est inversible, et

$$\mathbf{x} = \mathcal{O}^\dagger \mathbf{Y} - \mathcal{O}^\dagger \mathcal{T} \mathbf{U} \quad (16)$$

avec $\mathcal{O}^\dagger = (\mathcal{O}^T \mathcal{O})^{-1} \mathcal{O}^T$.

- Cette expression ne peut être utilisée telle quelle, à cause des dérivées successives des mesures.

Reconstructeurs intégraux

- Le modèle étudié

$$\dot{\mathbf{x}} = A\mathbf{x} + B\mathbf{u}$$

$$\mathbf{y} = C\mathbf{x}$$

peut se réécrire, par intégration

$$\mathbf{x} = A\mathbf{x}^{\int} + B\mathbf{u}^{\int}$$

$$\mathbf{y} = C\mathbf{x}$$

où \int désigne l'intégration, c.à.d.

$$\dot{z}^{\int} = z, \quad \text{et } z^{\int i} = (z^{\int i-1})^{\int}$$

Reconstructeurs intégraux (suite)

- Par récurrence, pour $\nu \geq 0$, on obtient

$$\mathbf{x} = A^\nu \mathbf{x}^J{}^\nu + \sum_{i=1}^{\nu} A^{i-1} B \mathbf{u}^J{}^i \quad (17)$$

- Supposant le système observable, un reconstructeur brut s'écrit

$$\mathbf{x} = \mathcal{O}^\dagger \mathbf{Y} - \mathcal{O}^\dagger \mathcal{T} \mathbf{U}$$

Reconstructeurs intégraux (suite)

- Et, posant $\nu = n - 1$ dans (17)

$$\begin{aligned} \mathbf{x} &= A^{n-1} \mathbf{x}^{f^{n-1}} + \sum_{i=1}^{n-1} A^{i-1} B \mathbf{u}^{f^i} \quad \text{et d'après (16)} \\ &= A^{n-1} \mathcal{O}^\dagger \mathbf{Y}^{f^{n-1}} - A^{n-1} \mathcal{O}^\dagger \mathcal{T} \mathbf{U}^{f^{n-1}} + \sum_{i=1}^{n-1} A^{i-1} B \mathbf{u}^{f^i} \\ &= A^{n-1} \mathcal{O}^\dagger \mathbf{y} - A^{n-1} \mathcal{O}^\dagger \mathcal{T} \mathbf{u} + \tilde{\mathbf{c}} \mathbf{u} \\ &= A^{n-1} \mathcal{O}^\dagger \mathbf{y} + (\tilde{\mathbf{c}} - A^{n-1} \mathcal{O}^\dagger \mathcal{T}) \mathbf{u} \end{aligned}$$

Reconstructeurs intégraux

- avec

$$\mathbf{y} = \begin{pmatrix} \mathbf{y}^f \text{ }^{n-1} \\ \vdots \\ \mathbf{y}^f \\ \mathbf{y} \end{pmatrix}, \quad \mathbf{u} = \begin{pmatrix} \mathbf{u}^f \text{ }^{n-1} \\ \vdots \\ \mathbf{u}^f \end{pmatrix},$$

$$\tilde{\mathcal{C}} = (A^{n-2}B \quad A^{n-3}B \quad \dots \quad AB \quad B)$$

Reconstructeurs intégraux (suite)

- Cette expression est un **reconstructeur intégral** de l'état \mathbf{x} , noté \mathbf{x}^{Juy}

$$\mathbf{x}^{Juy} = A^{n-1}O^\dagger \mathbf{y} + \left(\tilde{\mathbf{c}} - A^{n-1}O^\dagger \mathbf{T} \right) \mathbf{u} \quad (18)$$

- Cette expression inclut des intégrales itérées des entrées et des sorties,
- Ceci **lisse les mesures**
- Ce schéma n'est pas stabilisant. Il doit être utilisé dans une boucle de régulation.

Conclusions pour le GPI

- Schéma simple et proche de ceux utilisés dans l'ingénierie
- Fournit une certaine robustesse
- Obtenir le meilleur des deux mondes :
 - le modèle par variables d'état fournit les gains de stabilisation ;
 - la régulation par PI assure la robustesse

Application aux réseaux informatiques – Notion de platitude

Aperçu sur la variété des modèles

Modèles : transmission physique

- **Transmission physique**

État : $w(z, t)$, à l'abscisse z et au temps t

Commande : $u(t)$ signal émis en $x = 0$

Modèle d'état linéaire (avec atténuation) :

$$\nu^2 \frac{\partial^2 w}{\partial z^2}(z, t) = \frac{\partial^2 w}{\partial t^2}(z, t) + \gamma \frac{\partial w}{\partial t}(z, t), \quad z \in [0, L]$$

$$\frac{\partial w}{\partial z}(0, t) = u(t)$$

$$\frac{\partial w}{\partial z}(L, t) = y(t)$$

- La **mesure** est le signal réceptionné à l'autre bout.

Modèles : Dynamique de file d'attente

- Dynamique de file d'attente

État : $q(t)$ longueur de la file

Commande : $\lambda(t)$ taux d'arrivée

Modèle d'état :

$$\dot{q}(t) = -\mu \frac{q(t)}{1 + q(t)} + \lambda(t)$$

μ : taux de service (ici constant).

- En régime stationnaire : $\bar{\lambda} = \mu \frac{\bar{q}}{1 + \bar{q}}$

ou encore $\bar{q} = \frac{\bar{\lambda}}{\mu - \bar{\lambda}}$

Modèles : Session TCP linéarisée

État : $q(t)$, où $q(t)$ est la longueur de la file d'attente du noeud congestionné.

Commande : $W(t)$, où $W(t)$ est la largeur de la fenêtre.

Modèle d'état (Hollot, Towsley, ..., 2001), linéarisation autour d'un point de fonctionnement :

$$\dot{q}(t) = -\frac{1}{R_0}q(t) + \frac{N}{R_0}W(t)$$

avec

- N Nombre de sessions TCP traversant le noeud congestionné
- R_0 Valeur nominale du RTT (Round Trip Time) (sec)

Modèles : Session TCP/RED linéarisée

État : $(W(t) \ q(t))^T$, où $W(t)$ est la largeur de la fenêtre et $q(t)$ la longueur de la file d'attente du noeud congestionné.

Commande : $p(t) = \mathcal{P}(\bar{q}(t))$ la probabilité de rejet d'un paquet, avec $\bar{q}(t)$ une estimée de la longueur moyenne de $q(t)$.

Modèle d'état (Hollot et al. 2001), linéarisation :

$$\begin{aligned}\dot{W}(t) &= -\frac{2N}{R_0^2 C} W(t) - \frac{R_0 C^2}{2N^2} p(t - R_0) \\ \dot{q}(t) &= -\frac{1}{R_0} q(t) + \frac{N}{R_0} W(t)\end{aligned}$$

avec N Nombre de sessions TCP traversant le noeud congestionné
 R_0 Valeur nominale du RTT (Round Trip Time) (sec)
 C capacité du lien (paquets/sec)

Modèles : Session TCP/RED non linéaire

État : $(W(t) \ q(t) \ R(t))^T$, avec $W(t)$ largeur de la fenêtre, $q(t)$ longueur de file et $R(t)$ la valeur du RTT (Round Trip Time).

Commande : $p(t) = \mathcal{P}(\bar{q}(t))$ la proba. de rejet d'un paquet.

Modèle d'état (Hollot et al. 2001), approximation fluide :

$$\dot{W}(t) = \frac{1}{R(t)} - \frac{W(t)W(t - R(t))}{2R(t - R(t))}p(t - R(t))$$

$$\dot{q}(t) = -\frac{W(t)}{R(t)}N(t) - C, \quad \text{avec } R(t) = \frac{q(t)}{C} + T_p$$

- où $N(t)$ Nombre de sessions TCP traversant le noeud congestionné
 C capacité du lien (paquets/sec)
 T_p temps de propagation source/noeud congestionné

Approximation fluide : Nature continue du temps

- Temps de traitement d'une unité d'accès (unité atomique d'information transférée) suffisamment court.

$$\Rightarrow \text{rapport } \frac{\text{débit global}}{\text{taille d'unité d'accès}}$$

suffisamment grand.

- Très bien vérifié pour les réseaux haut débit.
 - ATM : cellule 40 octets, débit 150 à 300 Mbit/s
 - Ethernet Gigabit : trame 1,5Ko, débit qqes Gbit/s
- Pour des faibles débits, les schémas proposés sont transposables en discret.

Approximation fluide : Nature continue des commandes

- Commandes en débit (paquets/s) prises **continues**.
- Bonne approximation pour de hauts débits.
- Pour des faibles débits, les schémas sont transposables en discret.

Approximation des retards

- Caractère **stationnaire** des **retards**.
 - Approximation fautive en réalité.
- ⇒ Nécessité d'un schéma prenant en compte la variabilité des retards

Modèles fluides de routeurs

Modèles de file FIFO

- Modèle de tampon de sortie d'un routeur
- Par analogie avec un équilibre de débit de fluide

$$\dot{q}(t) = v(t) - w(t)$$

$v(t)$ débit d'entrée à la file

$w(t)$ débit de sortie de la file

- Débit de sortie : **vitesse de traitement** de la file $r(q)$

Files FIFO : vitesse de traitement

- Vitesse de traitement

$$r(q(t)) = \frac{q(t)}{\theta(q(t))}$$

où $\theta(q)$ est le temps de séjour global de tous les paquets

- θ fonction monotone croissante de q
- Comprend
 - temps de traitement
 - temps d'attente
 - temps d'émission

Files FIFO : Modèles de temps de séjour

- Modèle constant

$$\theta(q) = \frac{1}{\rho}$$

- Modèle constant/linéaire par morceaux

$$\theta(q) = \begin{cases} \frac{1}{\rho} & \text{si } q < q_c \quad (\text{routeur non chargé}) \\ \frac{q}{\mu} & \text{si } q \geq q_c \quad (\text{routeur chargé}) \end{cases}$$

Files FIFO : Modèles de temps de séjour (suite)

- Modèle linéaire

$$\theta(q) = \frac{a + q}{\mu}$$

- Modèle non linéaire

$$\theta(q) = \frac{a + q + bq^2}{\mu}$$

Modèles (de file d'attente) de routeur

- Modèle à charge constante

$$\dot{q}(t) = -\rho q(t) + u(t)$$

- Modèle à charge constante par morceaux

$$\dot{q}(t) = \begin{cases} -\rho q(t) + u(t) & \text{si } q < q_c \quad (\text{routeur non chargé}) \\ -\mu + u(t) & \text{si } q \geq q_c \quad (\text{routeur chargé}) \end{cases}$$

c.à.d. un modèle saturé

$$\dot{q}(t) = -\rho \text{sat}_{\mu/\rho, q_c}(q(t)) + u(t)$$

- Modèle à charge linéaire

$$\dot{q}(t) = -\frac{\mu q(t)}{a + q(t)} + u(t)$$

Routeur à charge constante avec retard de propagation

- Modèle source, routeur intermédiaire, destination
- Le routeur intermédiaire est celui le plus chargé entre la source et la destination

$$\dot{q}_1(t) = -\rho_1 q_1(t) + u(t - \tau_1)$$

$$\dot{q}_2(t) = \rho_2 q_2(t - \tau_2)$$

- Avec $q_1(t)$ Taille de la file au goulot d'étranglement
 $q_2(t)$ Taille de la file à la destination
 $u(t)$ Débit de la source, pris comme **commande**
 τ_1 Retard de la source au goulot
 τ_2 Retard du goulot à la destination

Modèle de routeur à charge constante avec retard : remarques

- Remarque : schéma point à point (“end to end”); seule la source est commandée
- Modèle s'apparentant à ceux de Mascolo (1999), Hollot et al. (2001), Imer et Başar (2001)

Modèle routeur à charge constante avec retard : mesures

- Mesure de la taille de la file au goulot (en nombre de paquets) :

$$y(t) = q_1(t - \tau_1)$$

du goulot à la source,
accessible à la source

- **Information de rétro-action** utilisée pour la stabilisation autour des trajectoires de référence
- Représente l'**état (de charge) du réseau**

Routeurs : suivi de trajectoire

Liberté et suivi en boucle ouverte de routeurs à charge constante

- Une fois une stratégie déterminée, les autres variables en découlent À partir de

$$\dot{x}_1(t) = v(t - \tau_1) - \rho x_1(t)$$

$$\dot{x}_2(t) = \rho x_1(t - \tau_2)$$

$$y(t) = x_1(t - \tau_2)$$

$$\sigma(t) = x_{2r}(t) \quad \text{trajectoire de référence}$$

Liberté et suivi en boucle ouverte de routeurs à charge constante (suite)

- On obtient

$$x_{1r} = \frac{1}{\rho} \sigma(t + \tau_2)$$

$$v_r(t) = \frac{1}{\rho^2} \ddot{\sigma}(t + \tau_1 + \tau_2) + \dot{\sigma}(t + \tau_1 + \tau_2)$$

$$y_r(t) = \dot{\sigma}(t + \tau_2 - \tau_1)$$

Suivi en boucle ouverte : remarques

- Les expressions précédentes ne nécessitent **aucune intégration d'équation différentielle aux différences**
- Seul impératif : $\sigma(t)$ doit être dérivable.
- Une **paramétrisation complète** est obtenue.
- Le fait d'avoir des avances ($\sigma(t + \tau_2), \dots$) n'est pas gênant puisque $\sigma(t)$ est **connue à l'avance**.

Routeurs : stabilisation et prédicteurs

Suivi avec stabilité par prédiction : introduction

- On peut, dans le cas de retards constants, utiliser des lois incluant des retards dits distribués.
- Par exemple, dans le cas d'un modèle de dynamique de file de la forme

$$\dot{q}(t) = -\rho + u(t - \tau)$$

où

$q(t)$ est la taille de la file,

ρ est la vitesse de traitement du routeur étudié,

$u(t)$ est le débit de la source,

τ est le retard de transmission de la source au routeur

Suivi avec stabilité par prédiction : introduction (suite)

- Une loi de commande stabilisante est

$$u(t) = \rho - Kq(t + \tau)$$

- Et, pour estimer la prédiction $q(t + \tau)$, on pose

$$q(t + \tau) - q(t) = \int_t^{t+\tau} \dot{q}(\eta) d\eta$$

d'où

$$\begin{aligned} q(t + \tau) &= q(t) + \int_t^{t+\tau} -\rho + u(\eta - \tau) d\eta \\ &= q(t) + \rho\tau + \int_{t-\tau}^t u(\eta) d\eta \end{aligned}$$

Suivi avec stabilité par prédiction : introduction (suite)

- La loi de commande cherchée est donc

$$u(t) = (1 - K\tau)\rho - Kq(t) - K \int_{t-\tau}^t u(\eta) d\eta$$

le dernier terme étant qualifié de retard distribué.

Suivi avec stabilité de routeurs à charge constante

- Ayant le modèle

$$\dot{x}_1(t) = v(t - \tau_1) - \rho x_1(t)$$

$$\dot{x}_2(t) = \rho x_1(t - \tau_2)$$

$$y(t) = x_1(t - \tau_1)$$

- L'équation E/S s'écrit

$$\dot{y}(t) + \rho y(t) = v(t - 2\tau_1)$$

- Posant

$$y_e(t) = y(t) - y_r(t), \quad v_e(t) = v(t) - v_r(t)$$

Suivi avec stabilité de routeurs à charge constante (suite)

- On obtient le système d'erreur

$$\dot{y}_e(t) + \rho y_e(t) = v_e(t - 2\tau_1)$$

ou, symboliquement

$$(s + \rho)\hat{y}_e = e^{-2\tau_1 s}\hat{v}_e$$

- Remarque : le système d'erreur est stable !
- Stabilisation : $y_e = y - y_r \xrightarrow[t \rightarrow +\infty]{} 0$
- On veut un comportement **exponentiellement stable** des erreurs de suivi, c.à.d. :

$$\dot{y}_e(t) = -\lambda y_e(t) \quad \text{avec } \lambda > 0$$

en boucle fermée avec un **taux de convergence spécifié**

Suivi avec stabilité de routeurs à charge constante (suite)

- Ayant $\dot{y}_e(t) + \rho y_e(t) = v_e(t - 2\tau_1)$ et voulant

$$\dot{y}_e(t) = -\lambda y_e(t)$$

- On pose

$$v_e(t) = (\rho - \lambda)y_e(t + 2\tau_1)$$

Suivi avec stabilité de routeurs à charge constante (suite)

- Symboliquement $y_e(t + 2\tau_1)$ s'écrit (cf. Manitius et Olbrot (1979), Bréthé et Loiseau (1998))

$$\begin{aligned} e^{2\tau_1 s} \hat{y}_e &= \frac{1}{s + \rho} \hat{u}_e \quad \text{instable si } \rho < 0 \\ &= \frac{1}{s + \rho} \left(e^{-2\tau_1(s+\rho)} + 1 - e^{-2\tau_1(s+\rho)} \right) \hat{u}_e \\ &= e^{-2\tau_1 \rho} \left(\frac{1}{s + \rho} e^{-2\tau_1 s} \hat{u}_e \right) + \frac{1 - e^{-2\tau_1(s+\rho)}}{(s + \rho)} \hat{u}_e \\ &= e^{-2\tau_1 \rho} \hat{y}_e + \frac{1 - e^{-2\tau_1(s+\rho)}}{(s + \rho)} \hat{u}_e \end{aligned}$$

Suivi avec stabilité de routeurs à charge constante (suite)

- ou, en temporel

$$y_e(t + 2\tau_1) = e^{-2\tau_1\rho}y_e(t) + \int_{t-2\tau_1}^t e^{-\rho(t-\eta)}u_e(\eta)d\eta$$

- La loi de commande de suivi stabilisant est donc

$$\begin{aligned}v(t) &= v_r(t) + v_e(t) \\ &= v_r(t) + (\rho - \lambda)e^{-2\tau_1\rho}y_e(t) + \\ &\quad (\rho - \lambda) \int_{t-2\tau_1}^t e^{-\rho(t-\eta)}(v(\eta) - v_r(\eta))d\eta\end{aligned}$$

Suivi avec stabilité de routeurs à charge constante (suite) (suite)

ou encore

$$v(t) = \underbrace{v_r(t) + (\rho - \lambda) \int_{t-2\tau_1}^t e^{-\rho(t-\eta)} v_r(\eta) d\eta}_{\text{connu}} + \underbrace{(\rho - \lambda) \left[e^{-2\tau_1 \rho} y_e(t) + \int_{t-2\tau_1}^t e^{-\rho(t-\eta)} v(\eta) d\eta \right]}_{\text{mesuré}}$$

$$\text{avec } v_r(t) = \frac{1}{\rho^2} \ddot{\sigma}(t + \tau_1 + \tau_2) + \dot{\sigma}(t + \tau_1 + \tau_2)$$

et $\int_0^\infty \sigma(\eta) d\eta$ données à recevoir à la destination (requête)

Platitude et suivi de modèles non linéaires

Platitude différentielle

Considérons un système non linéaire

$$F_l(\mathbf{z}, \dots, \mathbf{z}^{(i)}, \dots, \mathbf{z}^{(\nu_l)}) = 0, \quad l = 1, \dots, N.$$

Il est **différentiellement plat** s'il existe un m -uplet $\mathbf{y} = (y_1, \dots, y_m)$ (m nombre d'entrées indépendantes) de fonctions, la *sortie plate*, t.q. :

1/ Caractère **endogène** :

\mathbf{y} s'exprime en fonction des variables du système \mathbf{z}

$$y_i = P_i(\mathbf{z}, \dots, \mathbf{z}^{(k)}, \dots, \mathbf{z}^{(\rho_i)})$$

pour $i = 1, \dots, m$.

Platitude différentielle (suite)

2/ Indépendance :

Les composantes de \mathbf{y} sont différentiellement indépendantes

$$Q(\mathbf{y}, \dots, \mathbf{y}^{(k)}, \dots, \mathbf{y}^{(\alpha)}) = 0 \implies Q \equiv 0$$

3/ Forme canonique de suivi :

Toute variable z_i du système s'exprime directement à partir \mathbf{y} et de ses dérivées

$$z_i = R(\mathbf{y}, \dots, \mathbf{y}^{(k)}, \dots, \mathbf{y}^{(\gamma)})$$

Platitude différentielle (suite)

- La 3^e propriété : sol. simple du suivi de trajectoires de références $\mathbf{y}_r = (y_{1r}(t), \dots, y_{m_r}(t))$.
- La 2^e propriété : les composantes de $\mathbf{y}_r(t)$ peuvent être choisies indépendamment.

Platitude différentielle d'un modèle d'état

Le système $\dot{\mathbf{x}}(t) = f(\mathbf{x}(t), \mathbf{u}(t))$, où $\mathbf{x}(t) \in \mathbb{R}^n$ et $\mathbf{u}(t) \in \mathbb{R}^m$ est *différentiellement plat* s'il existe un m -uple de **sorties plates**,

$$\mathbf{y}(t) = h(\mathbf{x}(t), \mathbf{u}(t), \dot{\mathbf{u}}(t), \dots, \mathbf{u}^{(r)}(t)), \quad \mathbf{y}(t) \in \mathbb{R}^m, r \in \mathbb{N}$$

tel que d'une part

$$\mathbf{x}(t) = A(\mathbf{y}(t), \dot{\mathbf{y}}(t), \dots, \mathbf{y}^{(q)}(t))$$

$$\mathbf{u}(t) = B(\mathbf{y}(t), \dot{\mathbf{y}}(t), \dots, \mathbf{y}^{(q+1)}(t))$$

où $q \in \mathbb{N}$, et t.q. d'autre part les éqs. du système

$$\frac{dA}{dt}(\mathbf{y}(t), \dots, \mathbf{y}^{(q+1)}(t)) = f(A(\mathbf{y}(t), \dots, \mathbf{y}^{(q)}(t)), B(\mathbf{y}(t), \dots, \mathbf{y}^{(q+1)}(t)))$$

soient identiquement satisfaites.

Suivi de trajectoires

- Session TCP/RED : modèle simplifié

$$\dot{W}(t) = \frac{1}{R_0} - \frac{(W(t))^2}{2R_0} p(t - R)$$
$$\dot{q}(t) = \frac{W(t)}{R_0} N - C$$

$W(t)$ largeur de la fenêtre

$q(t)$ longueur de la file d'attente du noeud congestionné

$p(t)$ probabilité de rejet d'un paquet

N Nombre de sessions TCP traversant le noeud congestionné

R_0 Valeur nominale du RTT (Round Trip Time) (sec)

C capacité du lien (paquets/sec)

Suivi de trajectoires (suite)

- Supposons avoir, d'après un opérateur, une politique d'allocation de file de noeuds chargés, $q_r(t)$. Alors, on en tire

$$W(t) = \frac{R_0(\dot{q}_r(t) + C)}{N}$$

et, d'après la dynamique de fenêtre

$$\begin{aligned} p(t - R) &= \frac{2R_0}{(W(t))^2} \left(\frac{1}{R_0} - \dot{W}(t) \right) \\ &= \frac{2(1 - R_0\dot{W}(t))}{(W(t))^2} \end{aligned}$$

Suivi de trajectoires (suite)

et, après remplacement

$$p_r(t) = \frac{2N(N - R_0^2 \ddot{q}_r(t + R_0))}{(R_0 \dot{q}_r(t + R_0) + C)^2}$$

qui assure le suivi en boucle ouverte de q_r .

- Ainsi, pour un taux de charge (resp. de pertes) instantané donné (via $q_r(t)$), on en déduit la probabilité de marquage à appliquer,
- et ce, sans intégrer d'équation différentielle.

Conception de trajectoires

- On désire une **représentation simple et souple** des trajectoires de référence dans un espace fonctionnel \mathcal{F} donné
- Plus précisément, on recherche une classe de trajectoires telle que :
 - Les membres de cette classe soient une **combinaison linéaire de fonctions connues**, $\sum_1^N \alpha_i \phi_i(t)$.
 - La classe forme un **espace d'approximation** de \mathcal{F} .
 - Les **bornes** supérieures et inférieures d'un membre de la classe **se déduisent** simplement **des paramètres** servant à composer ce membre.
 - Les **fonctions $\phi_i(t)$** soient **bien localisées** en temps et en fréquence.

Conception de trajectoires (suite)

- On prend par exemple une **B-spline d'ordre k**

$$\sigma(t) = \sum_0^{N_0} p_i b_{i,k}(t)$$

p_i : points de contrôle

$b_{i,k}(t)$: fonctions de base B-spline d'ordre k .

Les points de contrôle p_i sont des **paramètres de conception spatiaux de trajectoire**.

- On peut également prendre des Splines d'ondelettes.

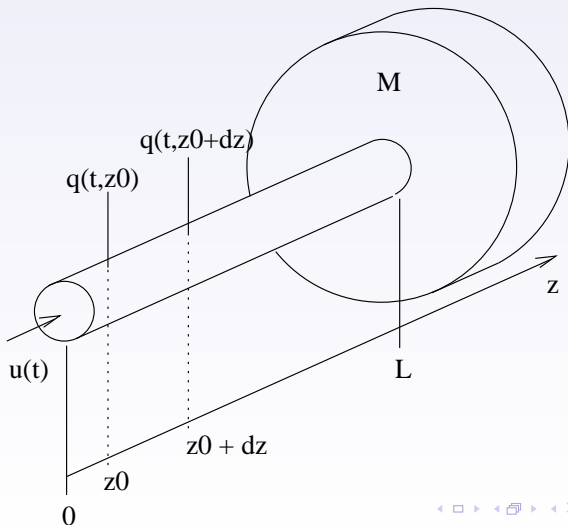
Conception de trajectoires (suite)

- Avantages des splines :
 - La dérivée d'une spline (d'ordre k) est une spline (d'ordre $k - 1$)
 - Une spline **approximante** est incluse dans l'enveloppe convexe de ses points de contrôle
- Autre paramètre de conception : changement de temps, $t \mapsto \zeta(t)$, permet de mesurer la **vitesse de parcours** de la trajectoire géométrique
- Le changement de temps est un **paramètre de conception temporel**.
- Les paramètres de conception spatiaux et temporel agissent comme des **meta-commandes** pour un contrôle à plus haut niveau sémantique.

Des SàR aux EDP : Équation des ondes et forage

Vibrations de torsion d'un poutre flexible

Schéma de la poutre



Équations de la poutre

- Comportement en torsion d'une barre flexible, avec un couple appliqué à un bout et une masse à l'autre bout.
- Équation des ondes unidimensionnelle

$$\sigma^2 \frac{\partial^2 q}{\partial \tau^2}(\tau, z) = \frac{\partial^2 q}{\partial z^2}(\tau, z)$$
$$\frac{\partial q}{\partial z}(\tau, 0) = -u(\tau), \quad \frac{\partial q}{\partial z}(\tau, L) = -J \frac{\partial^2 q}{\partial \tau^2}(\tau, L)$$
$$q(0, z) = q_0(z), \quad \frac{\partial q}{\partial \tau}(0, z) = q_1(z)$$

Équations de la poutre (suite)

- $q(\tau, z)$ déplacement angulaire de la position non excitée à un point $z \in [0, L]$ à l'instant $\tau \geq 0$
- L la longueur de la barre
- σ l'inverse de la vitesse de propagation des ondes
- J le moment d'inertie de la masse
- $u(\tau)$ le couple de commande
- q_0, q_1 déplacement et vitesse angulaire initiaux.

Modèle à retards

- Solution générale

$$q(\tau, z) = \phi(\tau + \sigma z) + \psi(\tau - \sigma z)$$

- Sortie choisie

$$y(\tau) = q(\tau, L)$$

- Posant $t = (\sigma/J)\tau$, $v(t) = (2J/\sigma^2)u(t)$ and $T = \sigma L$, on obtient

$$\ddot{y}(t) + \ddot{y}(t - 2T) + \dot{y}(t) - \dot{y}(t - 2T) = v(t - T)$$

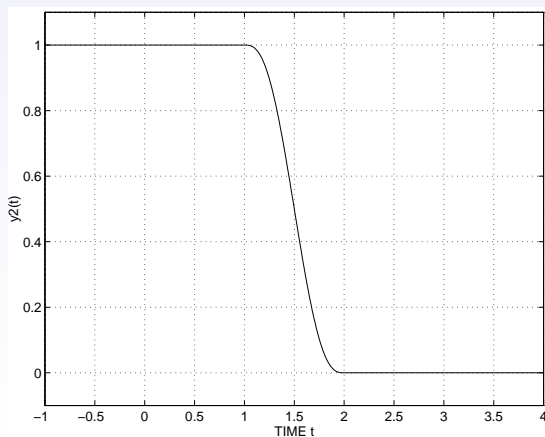
Modèle à retards (suite)

- Le système est δ -libre, de base y

$$v = (\delta^{-1} + \delta)\ddot{y} + (\delta^{-1} - \delta)\dot{y}$$

Suivi en boucle ouverte

$$v_d(t) = \ddot{y}_d(t + T) + \ddot{y}_d(t - T) + \dot{y}_d(t + T) - \dot{y}_d(t - T)$$



Suivi : commande en boucle ouverte

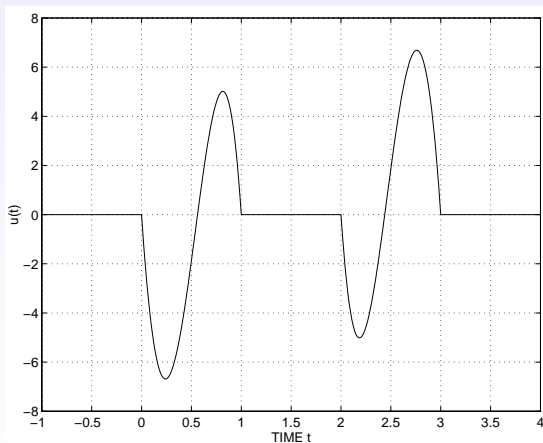
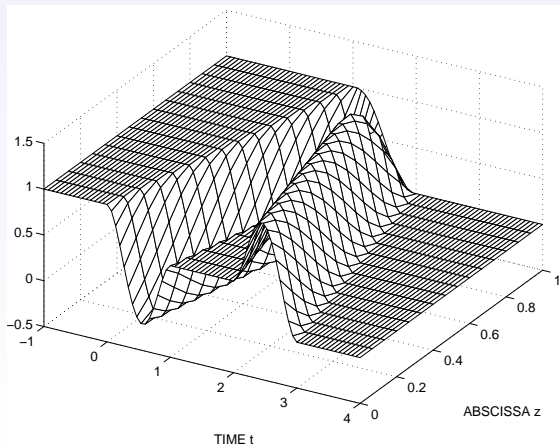


FIG. 13: La commande u .

Suivi : Déplacements des autres points de la barre

$$q_d(z, t) = \frac{1}{2} \left[y_d(t-z+T) + \dot{y}_d(t-z+T) + y_d(t-T+z) - \dot{y}_d(t-T+z) \right]$$



Réduction de l'adhérence-glisement dans les systèmes de forage

Système de forage

Appareil de forage :

- En **surface** : le **rig** (treuil, crochet, poulies, pompe à boue, etc.)
- Le **long du puits** :
 - Un **train de tiges**, de 0 à 6000m, \varnothing ext. 10cm, épaisseur 0.5cm
 - Un **train de masse-tiges**, de 300 à 600m, \varnothing ext. 20cm, épaisseur 2cm, masse de **40 à 60 tonnes**
- En **fond de puits**, un **outil** :
 - soit avec plusieurs cônes, munis de dents ; travaille en poinçonnement de la roche,
 - soit muni de pastilles de diamant polycristallin ; travaille en arrachement de la roche



Commandes

- Les tiges sont vissées les unes aux autres à force.
- Le train de tiges/masse-tiges est **retenu en surface** grâce à un système crochet + poulies + treuil. L'actionnement du **frein sur le treuil est la 1^{ière} commande**.
- L'ensemble tiges, masse-tiges, outil est **entraîné en rotation** en surface (tige carrée dans un logement). Le **couple du moteur de rotation est la 2^{ième} commande**.
- Chaque tige est creuse et l'outil est muni de duses de façon à faire **circuler un fluide** pour remonter les débris de roche forée.

Commandes (suite)

- Le fluide (eau + additifs chimiques) de forage arrive en sortie des duses d'outil à 50m/s. Le **débit de fluide** injecté en surface est la 3^{ième} commande.

Précautions

- Le **poids sur outil** (frein du treuil en surface) ne doit pas être trop important (effort de forage de roche trop élevé) ; risque de génération de **vibrations** avec résonances.
- La **vitesse de rotation** ne doit pas être trop importante (risque de **vibrations**) ni trop faible (risque de **bloquage de l'outil**).
- Le **débit de fluide** ne doit pas être trop important (risque de **fissures** dans les parois du puits et perte de fluide, ou risque d'**effondrement des parois** du puits) ni trop faible (risque de **blocage de l'outil**).

Dysfonctionnements vibratoires

- Cycles d'**adhérence-glissement** (stick-slip), lié aux **vibrations de torsion** du train de tiges. Fatigue et usure du train de tiges, Risque de **dévissage des tiges** ...
- **Rebond** de l'outil, lié aux **vibrations de traction/compression** du train de masse-tiges. Risque d'**endommagement de l'outil**.
- **Précession** du train de masse-tiges et de l'outil, lié aux **vibrations de flexion** du train de masse-tiges. Fatigue et usure du train de masse-tiges.

Systèmes de forage : moyens d'action

- On peut chercher à
 - 1) détecter par anticipation les problèmes, ou bien
 - 2) éviter de les provoquer.

- Le 1) est à court terme

- Le 2) est à moyen/long terme.

Vue schématique des vibrations de torsion

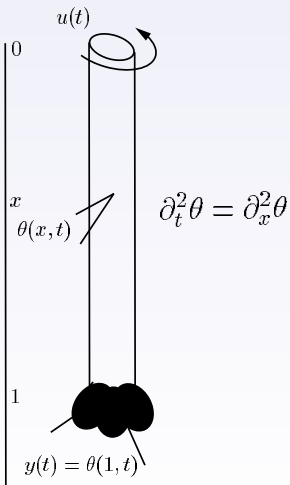


FIG. 15: Vibrations de torsion.

Dynamique de torsion

- Dynamique de torsion d'un système de forage

$$\frac{\partial \theta}{\partial t^2} = \frac{\partial}{\partial x^2} \theta$$
$$\frac{\partial \theta}{\partial x}(0, t) = -u(t)$$
$$\frac{\partial \theta}{\partial x}(1, t) = F \left(\frac{\partial \theta}{\partial t}(1, t) \right)$$

- avec

$\theta(x, t)$ Profil de torsion à t et en $x \in [0, 1]$

u couple de commande en surface

$F(v)$ loi de friction en fond de puits.

Forage par trajectographie régulière

- On prend comme **trajectoires désirées** les **variables de fond** (déplacement angulaire).
- Si ces trajectoires sont suffisamment régulières, on en déduit des **lois de commande douces en surface**.
- Principal avantage : on **évite d'exciter les modes de vibration** des trains de tiges et de masse-tiges.

Trajectographie régulière et platitude

- Sortie plate du système : l'angle en fond de puits $y(t) = \theta(1, t)$. Le système est δ -plat (Mounier et Rudolph).

- Paramétrisation explicite des trajectoires

$$2\theta(x, t) = y(t + x - 1) + y(t - x + 1) - \int_{t-1+x}^{t+1-x} F(\dot{y}(\tau)) d\tau$$

- Donc, pour stabiliser le système et réduire l'adhérence-glisement on stabilise $y(t)$.

Stabilisation de l'adhérence-glisserment

- À chaque vitesse ω_r il correspond une rotation uniforme à vitesse constante

$$\theta(x, t) = a + \omega_r t + F(\omega_r)x, \quad u = -F(\omega_r)$$

solution des équations de dynamique de torsion.

- Lorsque $dF/dv(\omega_r) > 0$, ce mouvement stationnaire est **instable**.

Stabilisation de l'adhérence-glissement (suite)

- Loi stabilisante, n'utilisant **que les mesures de vitesse en surface** (cf. P. Rouchon)

$$u(t) = -\omega(t) + v(t) - F(v(t))$$

avec

$$v(t) = \omega_r(t) - \lambda I(t) - \frac{\lambda}{2} \left(\int_{t-2}^t v(\tau) d\tau \right)$$

$$\dot{i}(t) = \omega(t) - \omega_r(t)$$

Stabilisation de l'adhérence-glisement (suite)

- On doit avoir $\lambda > 0$, qui assure pour la sortie plate $y(t) = \theta(1, t)$, la dynamique suivante

$$\frac{d}{dt}(y(t+1) - y_r(t+1)) = -\lambda(y(t+1) - y_r(t+1))$$

- Où la référence $t \mapsto y_r(t)$ est telle que $\dot{y}_r(t+1) = \omega_r(t)$.
- Notons que le bouclage fait intervenir des retards distribués (cf. par ex. Bréthé-Loiseau).

Puits profonds et déviés

- Forage dirigé, pour exploiter des nappes horizontales.
- Forage offshore profond.

Conclusion sur le forage

- ▶ Beaucoup de systèmes à retards technologiques semblent **presque-finis** : très aisés à commander.
- ▶ L'une des seules classes d'exemples non presque-finie est issue de l'**équation des ondes**.
- ▶ Deux directions majeures :
 - Celle des **systèmes à paramètres distribués**, déjà abordée,
 - Celle des systèmes presque-finis, en lien avec les récents **PID généralisés** (M. Fliess, R. Marquez, E. Delaleau).

Conclusions

- ▶ Pls généralisés : obtenir **le meilleur des deux mondes**
 - entre **robustesse** des PI et **facilité de réglage** des modèles d'état
- ▶ Inconvénient : il faut connaître un modèle
 - Dans le cas où un modèle est très mal connu, utiliser des formes a priori
 - tels Broïda-Strejc ou la **commande sans modèle** de M. Fliess, C. Join, H. Sira-Ramirez

Conclusions (suite)

- ▶ La **platitude** permet de mêler **prédiction** et **correction** pour les systèmes non linéaires
- ▶ La **stabilisation** des systèmes plats est très aisée de par la **linéarisabilité par bouclage**

Compléments

- Approche algébrique utilisant la théorie des modules
- Pas de distinction a priori des variables
- Interprétations de beaucoup de notions de commandabilités de la littérature

Commandabilités et π -liberté

Notion de module et systèmes sans retards ; systèmes généraux

MODULES ET SYSTÈMES SANS RETARDS

- **Module** : ensemble d'équations différentielles
- Analogue d'un espace vectoriel, avec les coefficients dans un anneau (au lieu d'un corps).
- Équations de l'algèbre linéaire : espaces vectoriels
Équations différentielles linéaires : modules.
- Systèmes sans retard : l'anneau des coefficients est celui des polynômes différentiels

$$k \left[\frac{d}{dt} \right]$$

avec k un corps.

MODULES ET SYSTÈMES SANS RETARDS (suite)

- Exemple :

$$\dot{y} = -y + u$$

Le $\mathbb{R}[\frac{d}{dt}]$ -module est noté $[u, y]_{\mathbb{R}[\frac{d}{dt}]}$ ou $[u, y]$.

- Conséquence de la notion de **module** : les coefficients sont dans un anneau et non dans un corps \implies non inversibilité de $(\frac{d}{dt} + 1)$ dans

$$\left(\frac{d}{dt} + 1\right) y = u$$

En particulier, **on ne s'autorise pas à intégrer les équations du système.**

MODULES ET SYSTÈMES SANS RETARDS (suite)

- De manière informelle

$$[u, y] = \left\{ p \left(\frac{d}{dt} \right) y + q \left(\frac{d}{dt} \right) u \mid p, q \in \mathbb{R} \left[\frac{d}{dt} \right], \right. \\ \left. \frac{d}{dt} y + y - u = 0 \right\}$$

- De manière formelle

$$0 \rightarrow \left[\frac{d}{dt} Y + Y - U \right] \rightarrow [U, Y] \rightarrow [u, y] \rightarrow 0$$

$$\text{C.à.d. } [u, y] = [U, Y] / \left[\frac{d}{dt} Y + Y - U \right]$$

- D'où la définition [Fli90] : Un **Système** linéaire Λ sans retards est un $k \left[\frac{d}{dt} \right]$ -module de type fini.

SYSTÈMES ET DYNAMIQUES

R anneau commutatif unitaire, sans diviseurs de zéro.

- [FM98] Un R -système est un R -module finiment engendré.
- Une R -dynamique Λ est un R -système muni d'une entrée, c.à.d. un sous ensemble \mathbf{u} de Λ tel que $\Lambda/[\mathbf{u}]$ est de torsion.
- Élément $w \in \Lambda$ de torsion :

$$\exists p \in R, p \neq 0, \quad pw = 0$$

Exemple :

$$\frac{d}{dt} x - x = \left(\frac{d}{dt} - 1 \right) x = 0$$

SYSTÈMES ET DYNAMIQUES (suite)

- $\Lambda/[u]$ est de torsion :

$$\forall w \in \Lambda, \exists p, q \in R, p \neq 0, \quad pw = qu$$

Toute variable d'une dynamique est (différentiellement) influencée par l'entrée. Par exemple, pour

$$\frac{d}{dt} y = -y + u$$

Dans $[u, y]/[u] = [\bar{y}]$:

$$\frac{d}{dt} \bar{y} + \bar{y} = 0$$

SYSTÈMES ET DYNAMIQUES (suite)

- Une **sortie** du système Λ est un sous-ensemble de Λ .
- Un **R -système entrée-sortie** est une R -dynamique munie d'une sortie.
- Contrairement à la description kalmanienne d'état, cette description inclut **toutes les variables du système**.

Notions de commandabilité dans un cadre général ; systèmes à retards

NOTIONS GÉNÉRALES DE COMMANDABILITÉ

- [FM98] Un R -système Λ est R -commandable sans torsion (resp. R -commandable projectif, R -commandable libre) si Λ est sans torsion (resp. projectif, libre).
- Un R -module est sans torsion s'il ne contient aucun élément de torsion, c.à.d. aucun élément w satisfaisant $pw = 0$, avec $p \in R, p \neq 0$.
- Un élément de torsion satisfait une équation (en général) différentielle non influencée par l'entrée.

NOTIONS GÉNÉRALES DE COMMANDABILITÉ (suite)

- Ceci est impossible dans un espace vectoriel, puisque $pw = 0$ implique $w = 0$, p étant inversible.
- Par exemple dans

$$\begin{array}{ll} \dot{x}_1 = x_2 & \dot{x}_1 = x_1 \\ \dot{x}_2 = x_2 + u & \dot{x}_2 = x_2 + u \end{array}$$

le premier système est $\mathbb{R}[\frac{d}{dt}]$ -commandable sans torsion et le deuxième ne l'est pas, puisque x_1 est de torsion.

NOTIONS GÉNÉRALES DE COMMANDABILITÉ (suite)

- Un R -module est **projectif** si toute matrice de présentation admet un **inverse à droite**.
- Par exemple dans

$$\begin{pmatrix} \frac{d}{dt} & -1 & 0 \\ 0 & \frac{d}{dt} - 1 & -1 \end{pmatrix} \begin{pmatrix} x_1 \\ x_2 \\ u \end{pmatrix} = 0$$

L'on a

$$\begin{pmatrix} \frac{d}{dt} & -1 & 0 \\ 0 & \frac{d}{dt} - 1 & -1 \end{pmatrix} \begin{pmatrix} 0 & 0 \\ -1 & 0 \\ 0 & -1 \end{pmatrix} = \begin{pmatrix} 1 & 0 \\ 0 & 1 \end{pmatrix}$$

NOTIONS GÉNÉRALES DE COMMANDABILITÉ (suite)

- Directement relié à l'existence d'équations de Bézout.

NOTIONS GÉNÉRALES DE COMMANDABILITÉ (suite)

- Un R -module est **libre** s'il admet une **base**, c.à.d. un ensemble R **linéairement indépendant et générateur**.
- Par exemple dans

$$\begin{array}{ll} \dot{x}_1 = x_2 & \dot{x}_1 = x_1 \\ \dot{x}_2 = x_2 + u & \dot{x}_2 = x_2 + u \end{array}$$

Le premier système est $\mathbb{R}[\frac{d}{dt}]$ -commandable libre et admet x_1 pour base ; en effet, $x_2 = \frac{d}{dt}x_1$, $u = -\frac{d}{dt}x_1 + \frac{d^2}{dt^2}x_1$.
Le deuxième ne l'est pas, puisque x_1 est de torsion ; en effet

- La R -commandabilité libre (resp. projective) **implique** la R -commandabilité projective (resp. sans torsion).

NOTIONS GÉNÉRALES DE COMMANDABILITÉ (suite)

- Par exemple, dans

$$\frac{d}{dt} y = -y + u$$

on a

$$\hat{y} = \frac{1}{1+s} \hat{u}$$

- Le $\mathbb{R}[\frac{d}{dt}]$ -module correspondant est libre, de base y :

$$u = \left(\frac{d}{dt} + 1 \right) y$$

NOTIONS GÉNÉRALES DE COMMANDABILITÉ (suite)

- Permet un **suivi de trajectoire des plus aisés** ; se donnant $y_d(t)$, la commande en boucle ouverte $u_d(t)$ est directement donnée par

$$u_d(t) = \dot{y}_d(t) + y_d(t)$$

NOTIONS GÉNÉRALES DE COMMANDABILITÉ (suite)

- La notion la plus agréable mathématiquement est la liberté sur R .
- Elle se rencontre malheureusement très peu en pratique.
- Le caractère sans torsion est presque toujours réalisé en pratique, mais n'est pas constructif.
- \implies Besoin d'une notion **équivalente** mathématiquement au caractère **sans torsion** et qui permette de recouvrir les avantages de la liberté, notamment **l'existence d'une base**.

π -LIBERTÉ

- [FM98] Soit Λ un R -système, A une R -algèbre et \mathcal{S} une partie multiplicative de A telle que Λ est $\mathcal{S}^{-1}R$ -commandable libre.
- Alors il existe π dans \mathcal{S} tel que Λ est $R[\pi^{-1}]$ -commandable libre. Λ est dit π -libre.
- Une sortie étant une base de $R[\pi^{-1}] \otimes_R \Lambda$ est dite π -basique ou π -plate.
- Notion générale permettant de recouvrir les avantages mathématiques de la liberté ; sera explicitée sur des exemples de systèmes à retards.

SYSTÈMES ET DYNAMIQUES

- R est $k[\frac{d}{dt}, \delta_1, \dots, \delta_r] = k[\frac{d}{dt}, \delta]$, $k = \mathbb{R}$ ou \mathbb{C} .
- Les δ_i sont des **opérateurs retards** localisés d'amplitude non commensurables.
- Correspond, pour une fonction du temps $w(t)$, à l'action

$$(\delta_i w)(t) = w(t - h_i)$$

où $h_i \in \mathbb{R}$, $h_i > 0$ est l'amplitude du retard.

EXTENSION DES SCALAIRES ET A-SYSTÈMES

- Prenons un anneau A (une $k[\frac{d}{dt}, \delta]$ -algèbre) contenant $k[\frac{d}{dt}, \delta]$ et Λ un $k[\frac{d}{dt}, \delta]$ -module.
- Un A -module est constitué en multipliant formellement les éléments de Λ par des scalaires de A .
- Cas particulier du **produit tensoriel**. Le A -module obtenu est noté $A \otimes_{k[d/dt, \delta]} \Lambda$; il est obtenu à partir de Λ par **extension des scalaires**.

EXTENSION DES SCALAIRES ET A-SYSTÈMES (suite)

- Inversion de certains éléments de l'anneau des opérateurs : localisation.
- Soit \mathcal{S} un sous-ensemble multiplicativement clos de $k[\frac{d}{dt}, \delta]$ (c'est-à-dire pour tous $\pi_1, \pi_2 \in \mathcal{S}$, $\pi_1\pi_2 \in \mathcal{S}$ et $1 \in \mathcal{S}$).
- Le **localisé**, en \mathcal{S} , de $k[\frac{d}{dt}, \delta]$ est l'anneau, noté $\mathcal{S}^{-1}k[\frac{d}{dt}, \delta]$, constitué d'éléments de la forme p/σ où $p \in k[\frac{d}{dt}, \delta]$ et $\sigma \in \mathcal{S}$.
- Tous les **éléments d'un ensemble multiplicatif sont ainsi inversés**.

EXTENSION DES SCALAIRES ET A-SYSTÈMES (suite)

- Par exemple, dans $k[\frac{d}{dt}, \delta]$ l'ensemble $\mathcal{S} = \{\delta^i \mid i \in \mathbb{N}\}$;
l'anneau obtenu est $\mathcal{S}^{-1}k[\frac{d}{dt}, \delta] = k[\frac{d}{dt}, \delta, \delta^{-1}]$ et nommé
anneau des polynômes de Laurent partiels en δ .
- Autre exemple : $k(\delta)[\frac{d}{dt}]$ en prenant $\mathcal{S} = k[\delta]$. L'anneau des
opérateurs passe de $k[\frac{d}{dt}, \delta]$ à l'anneau des polynômes en $\frac{d}{dt}$ à
coefficients des fractions en δ .

L'élément

$$\frac{1}{1 + \delta} + \frac{\delta^2}{1 - \delta^3} \frac{d^2}{dt^2}$$

est dans $k(\delta)[\frac{d}{dt}]$.

EXTENSION DES SCALAIRES ET A-SYSTÈMES (suite)

- Notons que l'anneau $k(\delta)[\frac{d}{dt}]$ **contient strictement** $k[\frac{d}{dt}, \delta, \delta^{-1}]$: en effet $1/(1 + \delta)$ appartient au premier mais pas au deuxième.

EXTENSION DES SCALAIRES ET A -SYSTÈMES (suite)

- Étant donnée A une $k[\frac{d}{dt}, \delta]$ -algèbre (strictement incluse dans le corps des fractions $k(\frac{d}{dt}, \delta)$), on pose
- Soit Λ un système linéaire stationnaire à retards. Le A -module $A \otimes_{k[d/dt, \delta]} \Lambda$ est nommé un A -système (à retards) ou un système sur A .

Notions de commandabilité des systèmes à retards

COMMANDABILITÉ EN DIMENSION FINIE

Système classique, mono-entrée

$$\dot{x} = Ax + bu, \quad x = (x_1, \dots, x_n).$$

- Critère de Kalman

$$\text{rg}_{\mathbb{R}}[b, Ab, \dots, A^{n-1}b] = n$$

- Critère de Hautus-Popov-Belevitch

$$\forall s \in \mathbb{C}, \quad \text{rg}_{\mathbb{C}}[sI - A \mid b] = n$$

COMMANDABILITÉ EN DIMENSION FINIE (suite)

- Mise sous forme compagnon

$$\dot{x}_1 = x_2$$

$$\dot{x}_2 = x_3$$

$$\vdots$$

$$\dot{x}_{n-1} = x_n$$

$$\dot{x}_n = p_1 x_1 + p_2 x_2 + \dots + p_n x_n + qu$$

- Sous-espace de non commandabilité de Kalman vide.

CAS DES SYSTÈMES À RETARDS : PREMIER APERÇU

- En **dimension finie**, toutes les notions précédentes sont équivalentes.
- Ce n'est plus le cas en dimension infinie.
- Une **interprétation de ce fait** est

$$k\left[\frac{d}{dt}, \delta\right]\text{-sans torsion} \not\Rightarrow k\left[\frac{d}{dt}, \delta\right]\text{-libre}$$

COMM. SANS TORSION DES SYSTÈMES À RETARDS

- Soit A une $k[\frac{d}{dt}, \delta]$ -algèbre strictement incluse dans le corps des fractions $k(\delta)$.
- Rappelons :
Un système linéaire stationnaire à retards Λ est dit A -commandable sans torsion, si $A \otimes \Lambda$ est sans torsion.

COMM. SANS TORSION DES SYSTÈMES À RETARDS (suite)

- Exemple : $\Lambda = [u, y]$ d'équation

$$\dot{y}(t) - \dot{y}(t-1) = u(t) - u(t-1)$$

non $\mathbb{R}[\frac{d}{dt}, \delta]$ -commandable sans torsion. En effet

$$\frac{d}{dt}(1 - \delta)y = (1 - \delta)u, \quad \text{ou encore} \quad (1 - \delta)(\dot{y} - u) = 0$$

et $\dot{y} - u$ est de torsion.

- Par contre Λ est $\mathbb{R}(\delta)[\frac{d}{dt}]$ -commandable sans torsion.
En effet, $1 - \delta$ étant inversible dans $\mathbb{R}(\delta)[\frac{d}{dt}]$, alors $\dot{y} - u = 0$
dans $\mathbb{R}(\delta)[\frac{d}{dt}] \otimes_{\mathbb{R}[d/dt, \delta]} \Lambda$.

COMM. SANS TORSION DES SYSTÈMES À RETARDS (suite)

- Autre exemple [Mor76] :

$$\dot{x}_1(t) = x_1(t) + x_3(t - 1)$$

$$\dot{x}_2(t) = x_2(t) + x_3(t)$$

$$\dot{x}_3(t) = u(t)$$

Il n'est pas commandable sans torsion sur $\mathbb{R}[\frac{d}{dt}, \delta]$. En effet, $z(t) = x_1(t) - x_2(t - 1)$, satisfait, $\dot{z}(t) = z(t)$.

- Il l'est par contre sur $\mathbb{R}(\frac{d}{dt})[\delta]$ (en effet $t[x_1, x_2, x_3, u] = [z]$).

COMM. SANS TORSION DES SYSTÈMES À RETARDS (suite)

- Ceci n'est pas suffisant pour en assurer la stabilisation :
 $\forall u(t), x_1(t) - x_2(t - 1)$ croît de manière exponentielle, sauf
si $z(1) = 0$.

COMM. PROJECTIVE DES SYSTÈMES À RETARDS

- Soit A une $k[\frac{d}{dt}, \delta]$ -algèbre strictement incluse dans le corps des fractions $k(\delta)$.
- Rappelons :
Un système linéaire stationnaire à retards Λ est dit A -commandable projectif, si $A \otimes \Lambda$ est projectif.

COMM. PROJECTIVE DES SYSTÈMES À RETARDS (suite)

- Rappelons qu'un R -module est **projectif** si toute matrice de présentation admet un **inverse à droite**.
- Caractérisation directement liée aux équations de Bézout matricielles. Prenons une dynamique Λ d'équations

$$\dot{\mathbf{x}} = A(\delta)\mathbf{x} + B(\delta)\mathbf{u}$$

avec A et B à coefficients dans $k[\delta]$, \mathbf{x} de dimension n .

COMM. PROJECTIVE DES SYSTÈMES À RETARDS (suite)

- La projectivité de Λ revient à l'existence de matrices \bar{A} et \bar{B} à coefficients dans $k[\frac{d}{dt}, \delta]$ telles que

$$\left[\frac{d}{dt} I_n - A(\delta) \right] \bar{A}(\frac{d}{dt}, \delta) + B(\delta) \bar{B}(\frac{d}{dt}, \delta) = I_n.$$

- Ce type d'équation peut servir à des fins de **stabilisation des systèmes sans retards par retour d'état dynamique** (Vidyasagar).

COMMANDABILITÉ LIBRE DES SYSTÈMES À RETARDS

- Soit A une $k[\frac{d}{dt}, \delta]$ -algèbre strictement incluse dans le corps des fractions $k(\delta)$.
- Rappelons :
Un système linéaire stationnaire à retards Λ est dit A -commandable libre, si $A \otimes \Lambda$ est libre.

COMMANDABILITÉ LIBRE DES SYSTÈMES À RETARDS (suite)

- La dynamique d'équation :

$$\dot{y}(t) - y(t - 1) = u(t)$$

est $\mathbb{R}[\frac{d}{dt}, \delta]$ -commandable libre, de base y .

- Les deux exemples suivants sont $\mathbb{R}[\frac{d}{dt}, \delta]$ -commandables sans torsion, mais pas $\mathbb{R}[\frac{d}{dt}, \delta]$ -commandables libres

$$\dot{y}(t) = u(t - 1)$$

et

$$\dot{y}(t) = u(t) - u(t - 1)$$

COMMANDABILITÉ LIBRE DES SYSTÈMES À RETARDS (suite)

- La preuve de ceci sera fournie avec les critères de commandabilités examinés ensuite.

COMMANDABILITÉ LIBRE DES SYSTÈMES À RETARDS (suite)

- Ils sont $\mathbb{R}(\delta)[\frac{d}{dt}]$ -commandable libre, le premier est $\mathbb{R}[\frac{d}{dt}, \delta, \delta^{-1}]$ -commandable libre.

- En effet

$$u = \delta^{-1}y, \quad u(t) = \dot{y}(t + 1)$$

et

$$u = (1 - \delta)^{-1}\dot{y}, \quad u(t) = \sum_{i=0}^{\infty} \dot{y}(t - i)$$

CRITÈRE DE COMMANDABILITÉ LIBRE

- Rappel de la résolution de la **conjecture de Serre** [Ser55].
Sur un anneau de polynômes, tout module projectif est libre
(th. de Quillen-Suslin, [Qui76, Sus76]).

- Traduction :

Un système linéaire stationnaire à retards est
 $k[\frac{d}{dt}, \delta]$ -commandable libre si, et seulement s'il est
 $k[\frac{d}{dt}, \delta]$ -commandable projectif.

- Cette conjecture permet d'obtenir le critère de
commandabilité libre.

CRITÈRE DE COMMANDABILITÉ LIBRE (suite)

- Soit Λ donné par :
 - des générateurs $\Lambda = [\mathbf{w}] = [w_1, \dots, w_\alpha]$,
 - des relations $P_\Lambda(\frac{d}{dt}, \delta) \mathbf{w} = 0$où $P_\Lambda \in k[\frac{d}{dt}, \delta]^{\beta \times \alpha}$ et $\text{rg}_{k[\frac{d}{dt}, \delta]} P_\Lambda = \beta$.
- \bar{k} désigne la **clôture algébrique** (Le corps contenant toutes les racines d'équations polynômiales à coefficients dans k) de k .
- [FM98] Le système linéaire stationnaire à retards Λ est **$k[\frac{d}{dt}, \delta]$ -commandable libre** si, et seulement si

$$\forall (s, z_1, \dots, z_r) \in \bar{k}^{r+1}, \quad \text{rg}_{\bar{k}} P_\Lambda(s, z_1, \dots, z_r) = \beta.$$

CRITÈRE DE COMMANDABILITÉ LIBRE (suite)

- Ce critère de rang équivaut à l'absence de zéros communs dans \bar{k}^{r+1} des mineurs d'ordre β de P_Λ .

CRITÈRE DE COMMANDABILITÉ SANS TORSION

- Soit Λ donné par :
 - des générateurs $\Lambda = [\mathbf{w}] = [w_1, \dots, w_\alpha]$,
 - des relations $P_\Lambda(\frac{d}{dt}, \delta) \mathbf{w} = 0$où $P_\Lambda \in k[\frac{d}{dt}, \delta]^{\beta \times \alpha}$ et $\text{rg}_{k[\frac{d}{dt}, \delta]} P_\Lambda = \beta$.
- [FM98] Le système linéaire stationnaire Λ est **$k[\frac{d}{dt}, \delta]$ -commandable sans torsion** si, et seulement si, les mineurs $\beta \times \beta$ de P_Λ sont premiers entre eux.
- Premiers entre eux signifie que leur pgcd est une constante, ou encore l'**absence de facteurs communs**.

π -liberté et polynôme de libération ; interprétations de notions de la littérature

π -LIBERTÉ

- L'exemple $\dot{y} = \delta u$ est $\mathbb{R}[\frac{d}{dt}, \delta]$ -commandable sans torsion mais pas $\mathbb{R}[\frac{d}{dt}, \delta]$ -commandable libre.
- Par contre, il est $\mathbb{R}(\delta)[\frac{d}{dt}]$ -commandable libre, de base y .
- On cherche donc à **rendre libre** un module qui n'est que sans torsion, **par inversion d'opérateurs**.
- Dans l'exemple il suffit en fait d'inverser δ : la dynamique $\dot{y} = \delta u$ est $\mathbb{R}[\frac{d}{dt}, \delta, \delta^{-1}]$ -libre, de base y puisque $u = \delta^{-1}\dot{y}$.
D'où

π -LIBERTÉ (suite)

- [FM98] Soit Λ un système à retards commandable sans torsion sur $k[\frac{d}{dt}, \delta]$. Alors il **existe** un élément π de $k[\delta]$ tel que Λ **soit commandable libre** sur $k[\frac{d}{dt}, \delta, \pi^{-1}]$. Le système Λ est dit π -libre. Le polynôme π est dit **polynôme de libération** associé à Λ .
- Autre exemple :

$$\dot{y}(t) = u(t) - u(t-1), \quad \text{ou} \quad \frac{d}{dt}y = (1 - \delta)u$$

est $(1 - \delta)$ -libre, de base y

$$u = (1 - \delta)^{-1} \frac{d}{dt}y$$

INTERPRÉTATION DE NOTIONS DE LA LITTÉRATURE

Beaucoup de notions de la littérature peuvent être interprétées.
Notamment :

- L'**accessibilité** (commandabilité forte),
- La **commandabilité faible**,
- La **commandabilité spectrale**.

INTERPRÉTATION DE L'ACCESSIBILITÉ

- On considère $\Lambda = [\mathbf{x}, \mathbf{u}]$ sur $k[\frac{d}{dt}, \delta]$ de relations

$$\dot{\mathbf{x}} = A(\delta)\mathbf{x} + B(\delta)\mathbf{u}$$

$$\mathbf{x} = (x_1, \dots, x_n), \quad \mathbf{u} = (u_1, \dots, u_m), \quad A \in k[\delta]^{n \times n}, \\ B \in k[\delta]^{n \times m}.$$

- L'accessibilité [Mor76], [Son76] peut s'exprimer par

$$\forall (s, z_1, \dots, z_r) \in \bar{k}^{r+1}, \quad \text{rg}_{\bar{k}}[sI_n - A(z_1, \dots, z_r) \mid B(z_1, \dots, z_r)] = n$$

- La dynamique Λ est **accessible** si, et seulement si, Λ est **$k[\frac{d}{dt}, \delta]$ -commandable libre**.

INTERPRÉTATION DE LA COMMANDABILITÉ FAIBLE

- On considère $\Lambda = [\mathbf{x}, \mathbf{u}]$ sur $k[\frac{d}{dt}, \delta]$ de relations

$$\dot{\mathbf{x}} = A(\delta)\mathbf{x} + B(\delta)\mathbf{u}$$

$$\mathbf{x} = (x_1, \dots, x_n), \mathbf{u} = (u_1, \dots, u_m), A \in k[\delta]^{n \times n}, \\ B \in k[\delta]^{n \times m}.$$

- La commandabilité faible [Mor76] peut s'exprimer par

$$\text{rg}_{k[\delta]}[B(\delta), A(\delta)B(\delta), \dots, A(\delta)^{n-1}B(\delta)] = n$$

- La dynamique Λ est **faiblement commandable** si, et seulement si, Λ est **commandable libre sur $k(\delta)[\frac{d}{dt}]$** .

INTERPRÉTATION DE LA COMM. SPECTRALE

- Défini dans un cadre d'analyse fonctionnelle [Osi65].
- Système représenté par le $k[s, e^{-hs}]$ -module finiment engendré Λ .
- donné par générateurs et relations

$$\Lambda = [w_1, \dots, w_\alpha] \triangleq [\mathbf{w}]$$
$$P_\Lambda(s, e^{-hs}) \mathbf{w} = 0$$

avec $P_\Lambda \in k[s, e^{-hs}]^{\beta \times \alpha}$, $\text{rg}_{k[s, e^{-hs}]} P_\Lambda = \beta$, $\beta \leq \alpha$ et \mathfrak{I}_Λ l'idéal engendré par les mineurs d'ordre β de P_Λ ,
 $\mathfrak{I}_\Lambda = (m_1(s, e^{-hs}), \dots, m_\gamma(s, e^{-hs}))$ ($\gamma = C_\alpha^\beta$).

INTERPRÉTATION DE LA COMM. SPECTRALE (suite)

- Soit Λ un système linéaire à retards stationnaire défini sur $k[s, e^{-hs}]$, de matrice de présentation P_Λ dont le rang générique est β . Il est dit **spectralement commandable** si $\forall s \in \mathbb{C}, \text{rg}_{\mathbb{C}} P_\Lambda(s, e^{-hs}) = \beta$.
- Posons $\mathfrak{G}_r = k(s)[e^{-hs}, e^{hs}] \cap \mathfrak{E}$.
 \mathfrak{E} : anneau des fonctions entières (analytiques dans tout le plan complexe, le même développement étant valable partout).

INTERPRÉTATION DE LA COMM. SPECTRALE (suite)

- Cet anneau contient des retards distribués, comme

$$\frac{1 - e^{-h(s-a)}}{s - a}$$

correspondant à

$$w(t) \longmapsto \int_{t-h}^t e^{a(t-\tau)} w(\tau) d\tau$$

- [BL96] Soit Λ un système à retards sur $k[s, e^{-hs}]$, commandable sans torsion sur $k[s, e^{-hs}, e^{hs}]$. Alors Λ est **spectralement commandable** si, et seulement si, elle est **\mathfrak{G}_r -commandable libre**.

INTERPRÉTATION DE LA COMM. SPECTRALE (suite)

- Notons que, dans le cas d'un seul retard

\mathfrak{S}_1 -commandable libre \iff \mathfrak{S}_1 -commandable sans torsion

L'anneau \mathfrak{S}_1 étant de **Bézout** (tout idéal finiment engendré est principal).

INTERPRÉTATION DE LA COMM. SPECTRALE (suite)

- Caractérisation trajectorienne ([RW87], [GL97]) dans le cas d'un seul retard

Commandabilité spectrale \iff raccord des trajectoires passées et futures.

- Soit Λ un $k[\frac{d}{dt}, \delta]$ -système. On a

Λ $\delta_1^{\alpha_1} \dots \delta_r^{\alpha_r}$ -libre $\implies \Lambda$ spectr. comm. $\implies \Lambda$ $k[\frac{d}{dt}, \delta]$ -sans torsion

Bibliographie



D. Brethé and J.J. Loiseau.

A result that could bear fruit for the control of delay-differential systems.

In *Proc. IEEE MSCA '96*, Chania, Crete, 1996.



M. Fliess.

Some basic structural properties of generalized linear systems.

Systems Control Lett., 15 :391–396, 1990.



M. Fliess and H. Mounier.

Controllability and observability of linear delay systems : an algebraic approach.

Control Optimization and Calculus of Variations, 3 :301–314, 1998.

Bibliographie (suite)



H. Glüsing-Lürßen.

A behavioral approach to delay differential systems.

SIAM J. Contr. Opt., 35 :480–499, 1997.



A.S. Morse.

Ring models for delay-differential systems.

Automatica, 12 :529–531, 1976.



Y. Osipov.

Stabilization of controlled systems with delays.

Differencial'nye Uravnenija, 1 :605–618, 1965.

Bibliographie (suite)



D. Quillen.

Projective modules over polynomial rings.

Inv. Math., 36 :167–171, 1976.



P. Rocha and J.C. Willems.

Behavioral controllability of d-d systems.

SIAM J. Contr. Opt., 35 :254–264, 1987.



J.P. Serre.

Faisceaux algébriques cohérents.

Annals. of Maths., 61 :197–278, 1955.

Bibliographie (suite)



E.D. Sontag.

Linear systems over commutative rings : a survey.

Recherche di Automatica, 7 :1–34, 1976.



A.A. Suslin.

Projective modules over a polynomial ring are free (in russian).

Dokl. Akad. Nauk. S.S.S.R., 229 :1063–1066, 1976.

English translation : *Soviet Math. Dokl.*, **17**, p. 1160–1164.